

硝胺复合推进剂燃烧性能

摘要

在硝胺/高氯酸铵复合推进剂系统中，关于硝胺对比冲和燃速性能的影响，进行了实验研究。试验所用的推进剂组分包括环三甲撑三硝胺(RDX)，环四甲撑四硝胺(HMX)，高氯酸铵(AP)，铝粉(Al)和粘合剂。硝胺/AP推进剂的比冲主要取决于所有组分的配合。RDX虽可略增比冲，然而却降低燃烧产物的温度。硝胺/AP推进剂的燃速主要由AP含量和颗粒度大小所控制，也取决于所用粘合剂的类型。燃速随着AP含量的增加和颗粒度的减小而增大。RDX和HMX的化学元素虽然相同，然而含RDX推进剂的燃速大于含HMX推进剂的燃速。这种差异也可在相同AP含量和相同颗粒度的RDX/AP和HMX/AP推进剂中找到。

一、引言

火箭推进剂最重要性能之一就是比冲。很多研究工作都是为了提高这种性能。采取提高燃烧产物火焰温度的办法可以增加比冲。可以使氧化剂和粘合剂之比接近化学计算值来达到。近年来，以AP为氧化剂的推进剂采用粘合剂为燃料来提高比冲。粘合剂现多使用端羟基聚丁二烯(HTPB)，因为HTPB粘度低，可使AP和HTPB的比例为88/12，达到化学计算值，而且可混入大量的Al粉以提高比冲。

本文研究目的在于以硝胺取代部分AP以提高推进剂能量而减少烟雾。在研究中，以RDX或HMX和AP混合作氧化剂。由于RDX和HMX均达到化学平衡，燃烧产物的绝热火焰温度为3275K。因而以AP为氧化剂的复合推进剂在加入RDX或HMX后提高了比冲。而且，在湿度大时，以RDX或HMX取代部分AP，可使从喷管喷出的HCl被水分吸收而消烟。

二、硝胺/AP复合推进剂理论性能

为了提高比冲，对各种不同硝胺/AP复合推进剂在以下两种条件下进行了理论计算：一种是从燃烧室压力(70大气压)最佳膨胀到大气压，另一种是从燃烧室压力(70大气压)最佳膨胀到真空。在计算中运用Gordon方法，假定热力平衡通过喷管膨胀。计算时以Al作为一个参数对RDX/AP/HTPB推进剂进行性能比较。这些性能完全取决于组分的混合比，在实用中组分的配合受到一定的限制。例如推进剂的制造工艺受到组分粒度尺寸的重大影响。

计算所用热化学数据如下所示。要注意的是使用HMX得到相类似的结果，因为HMX和

表 1

	化 学 式	生成热(大卡/摩尔)
RDX	C ₃ H ₆ N ₆ O ₆	+14.69
AP	NH ₄ ClO ₄	-70.67
HTPB	C _{71.12} H _{106.3} O _{1.94} N _{0.54}	-138.00
Al		0

RDX的化学性质几乎相同。

比冲 I_{SP} （膨胀到一个大气压）或真空比冲 $I_{SP,V}$ （膨胀到真空）随着RDX/AP混合比的不同而变化（见图1到图5）。所需粘合剂HTPB的最低含量约为10%，算出5种HTPB在推进剂中的含量，它们是：13%，12.35%，11.70%，11.05%和10.04%。由于 $HTPB/(RDX+AP)$ 混合比选为0.15，铝粉含量随着HTPB含量的减少依次为0%，5%，10%，15%和20%。因此RDX和AP的含量和顺次为87.00%，82.65%，78.30%，73.95%和69.96%。以上五种推进剂配方综合如表2所示：

表 2

粘合剂 HTPB	13%	12.35%	11.70%	11.05%	10.04%
氧化剂 RDX + AP	87%	82.65%	78.30%	73.95%	69.96%
添加剂 Al	0 %	5.00%	10.00%	15.00%	20.00%
$HTPB/(RDX+AP) = 0.15$					

从图上可以看出比冲随着Al的增加和HTPB的减少而增加。但是如果Al含量超过15%，比冲反降低（图4和图5）。当Al含量少时 I_{SP} 增加，这是因为AP/HTPB氧化反应产生热量，AP较RDX有效。在本例中，火焰温度 T_f 随着比冲的增大而同时提高。但比冲的增大未能达到如火焰温度 T_f 升高的程度；这是因为燃烧气体分子量M同时增大了的缘故。尤其是，如图3所示，火焰温度 T_f 从3380K降至2680K，比冲按照 $I_{SP} \sim (T_f/M)^{1/2}$ 关系式变成250秒左右。

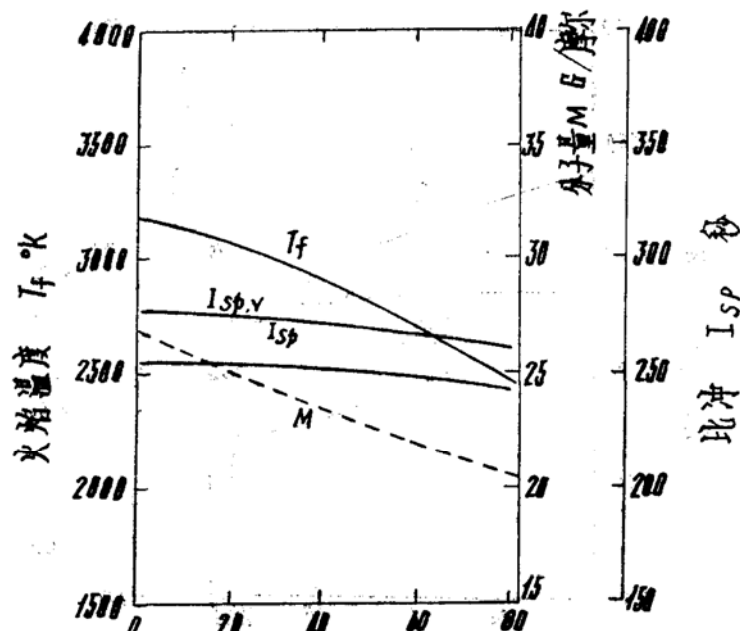


图 1 RDX/AP 推进剂性能 ($RDX+AP = 87\%$)

AP含量增加对火焰温度 T_f 升高的影响尚无提高比冲 I_{sp} 的关系式。因为AP分解出大量的HCl和Cl₂，分子量都很大，所以含AP推进剂燃烧产物的平均分子量也大。含有N，H，O和C的RDX，是一种弱氧化剂，产生大分子量如CO₂较少，而是产生像CO的低分子量燃烧产物。因而含RDX推进剂的燃烧产物多为H₂和CO，平均分子量较低。

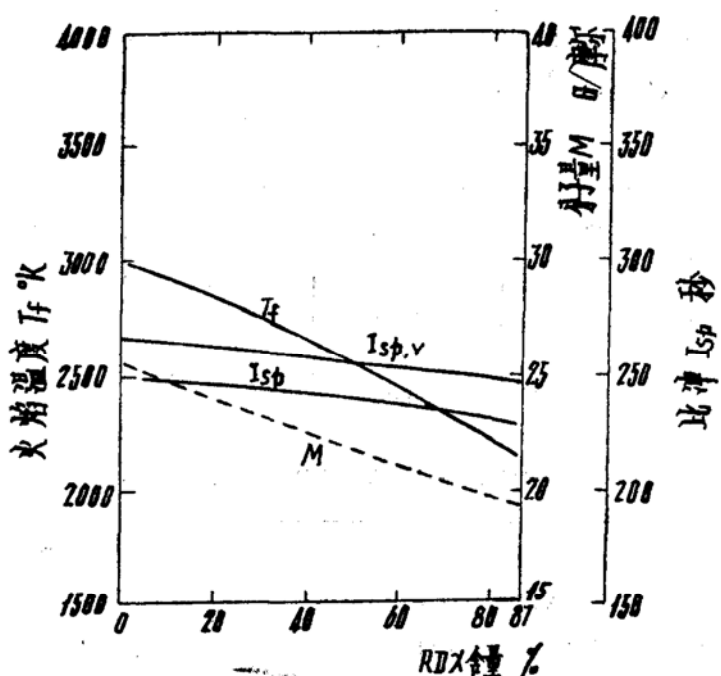


图2 RDX/AP/A1推进剂性能 (RDX + AP = 82.65%)

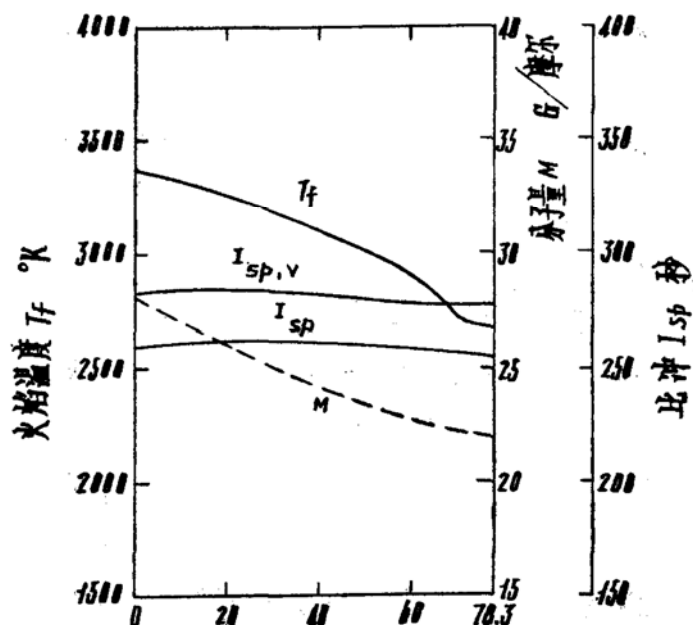


图3 RDX/AP/A1推进剂性能 (RDX + AP = 78.3%)

由于上述火焰温度 T_f 和分子量M的影响,所得最大比冲 I_{sp} 受到RDX/AP混合比特定范围的限制。如图4和图5所示, RDX在氧化剂(RDX+AP)的含量在10%到40%的范围内,可使本系统的推进剂达到最大的比冲。如图1到图5所示,燃烧室压力为70大气压时,实际比冲可达268秒,真空比冲可达292秒。

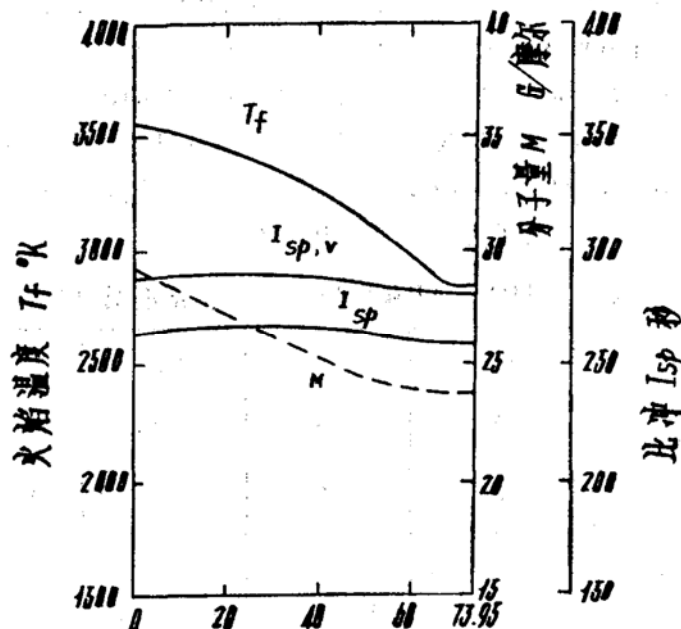


图4 RDX/AP/A推进剂性能 (RDX + AP = 73.95%)

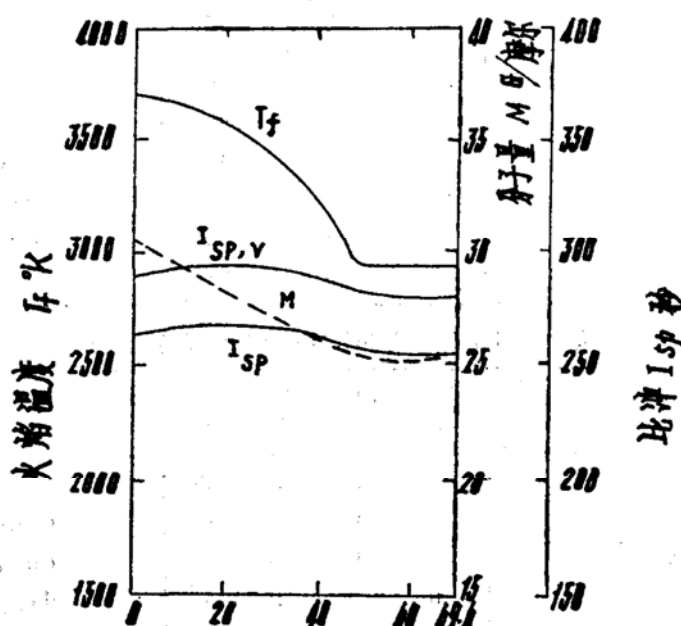


图5 RDX/AP/A1推进剂性能 (RDX + AP = 69.96%)

三、硝胺/AP复合推进剂的燃速性能

推进剂的燃速主要取决于推进剂组分的物理性质，特别是占组分70%以上的氧化剂。当采用RDX/AP或HMX/AP作氧化剂时，燃速随着两者混合比不同和颗粒度大小而变化。此外，所选用的粘合剂类型对燃速也有影响。下面就硝胺/AP复合推进剂的燃速进行论述。

在本研究中推进剂的粘合剂用端羟基聚丁二烯(HTPB)和聚醚聚氨基甲酸乙酯(HTPE)，氧化剂采用RDX/AP和HMX/AP的不同混合比和不同的颗粒度。为了了解RDX和HMX在AP复合推进剂中的基本作用原理，在试验用的推进剂中未加入Al粉。

测量燃速在烟囱式药条燃烧炉以氮气增压进行。药条尺寸为7毫米×7毫米×100毫米，试样周边以抗热树脂作抑制剂。测量时采用三根0.1毫米直径的金属丝，药条以镍铬丝进行电点火。推进剂药条化学成分参见表3、表4和表5。

表3 RDX, AP和RDX/AP复合推进剂组分

组 分 推 进 剂	Rr			Ra			Ar			Aa			HRa		粒 度 (微米)
	73	55	37	73	55	37	73	55	37	73	55	37	64	73	
HTPB	20	20	20	20	20	20	20	20	20	20	20	20	14	14	
RDX-A	56	40	24	56	40	24	—	—	—	—	—	—	51.6	60.2	$d_{RDX,L} = 140$
RDX-E	24	40	56	—	—	—	24	40	57	—	—	—	—	—	$d_{RDX,S} = 5$
AP-C	—	—	—	—	—	—	56	40	24	56	40	24	—	—	$d_{AP,L} = 200$
AP-F	—	—	—	24	40	56	—	—	—	24	40	56	34.4	25.8	$d_{AP,S} = 20$
d_L/d_S	7/3	5/5	3/7	7/3	5/5	3/7	7/3	5/5	3/7	7/3	5/5	3/7	6/4	7/3	

表4 HMX和HMX/AP推进剂组分

组 分 推 进 剂	Ah			Ha			Hh			粒 度 (微米)		
	55	55	55	55	55	55	55	55	55	55	55	55
HTPB	20	20	20	—	—	—	—	—	—	—	—	—
HMX-A	—	40	40	—	—	—	—	—	—	—	—	$d_{HMX,L} = 225$
HMX-E	40	—	40	—	—	—	—	—	—	—	—	$d_{HMX,S} = 20$
AP-C	40	—	—	—	—	—	—	—	—	—	—	$d_{AP,L} = 200$
AP-F	—	40	—	—	—	—	—	—	—	—	—	$d_{AP,S} = 20$
d_L/d_S	5/5	5/5	5/5	—	—	—	—	—	—	—	—	—

表5 RDX, AP和RDX/AP推进剂组分

组 分 推 进 剂	Taa				TRr				TAr				TRA				粒 度 (微米)
	55	55	55	55	55	55	55	55	55	55	55	55	55	55	55	55	
HTPE	20	20	20	20	—	—	—	—	—	—	—	—	—	—	—	—	
RDX-A	—	40	—	40	—	—	—	—	—	—	—	—	—	—	—	$d_{RDX,L} = 140$	
RDX-E	—	40	40	40	—	—	—	—	—	—	—	—	—	—	—	$d_{RDX,S} = 5$	
AP-C	40	—	—	—	—	—	—	—	—	—	—	—	—	—	—	$d_{AP,L} = 200$	
AP-F	40	—	—	—	—	—	—	—	—	—	—	—	—	—	—	$d_{AP,S} = 20$	
d_L/d_S	5/5	5/5	5/5	5/5	—	—	—	—	—	—	—	—	—	—	—	—	

表 6 AP/A1, RDX/AP/A1 和 HMX/AP/A1 推进剂组分

推 进 剂	TAP-713	TAP-712	TAP-709	TAP-710	粒 度 (微米)
HTPB	11.0	11.0	11.0	11.0	
A1	15.0	15.0	15.0	15.0	10
AP-L	38.5	38.5	38.5	38.5	400
AP-C	—	18.5	—	18.5	200
AP-F	18.5	—	18.5	17.0	20
HMX-A	17.0	—	—	—	225
HMX-E	—	17.0	—	—	20
RDX-A	—	—	17.0	—	140

四、RDX/AP混合比和颗粒大小对燃速的影响

用以测量RDX/AP混合比和颗粒尺寸对燃速影响的推进剂的化学组分见表3。氧化剂粒度为四种：大粒度RDX，直径140微米，以R表示；

小粒度RDX，直径5微米，以r表示；

大粒度AP，直径200微米，以A表示；

小粒度AP，直径20微米，以a表示。

每两种(R/r, R/a, A/r, A/a)各以7/3, 5/5和3/7的比例进行混合，共得12种配比。各种氧化剂配比在推进剂内的含量为80%。

燃速测量结果见图6到图9，这些图表明燃速和压力的对数关系。当推进剂中的氧化剂仅有AP时，燃速随着AP小粒度含量的增加而增大。当大粒度AP被大粒度RDX置换时，燃速性能变化很大如图7所示。Ra-37的燃速几乎和Aa-37的燃速等值。这说明以R置换A，对

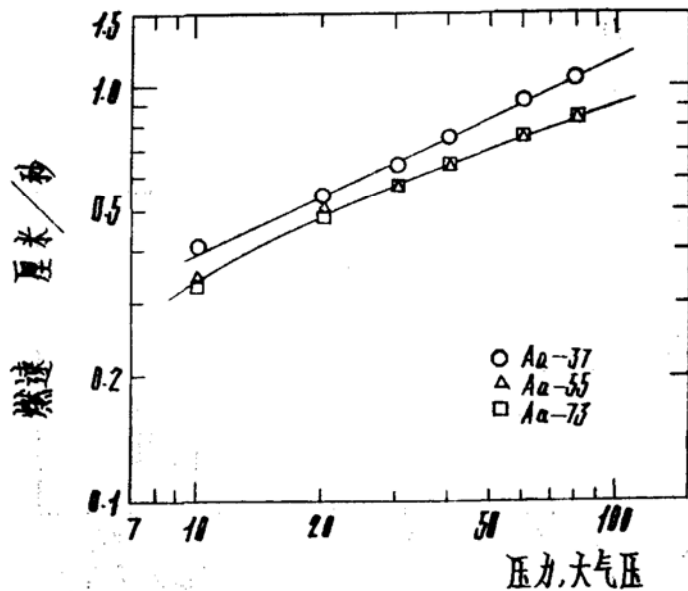


图 6 AP复合推进剂燃速性能

燃速沒有影响。可是随着R的增加(意味着a的减少)，燃速慢慢降低，如 Ra-55 和 Ra-73 所示。然而压力指数仍保持常数。

含大粒度AP(A)和小粒度RDX(r)推进剂燃速在低压区域较仅含大粒度AP(A)的为高。可是Ar-37, Ar-55和Ar-73在80大气压的燃速几相等如图 8 所示。在此情况下，Ar-73 的压力指数由于在低压区域燃速增大而降低。仅含RDX推进剂的燃速在低压区域显著下降如图 9 所示，而压力指数却高到 0.8。然而，当加入小粒度的 RDX(r) 较多时，燃速略提高，RDX

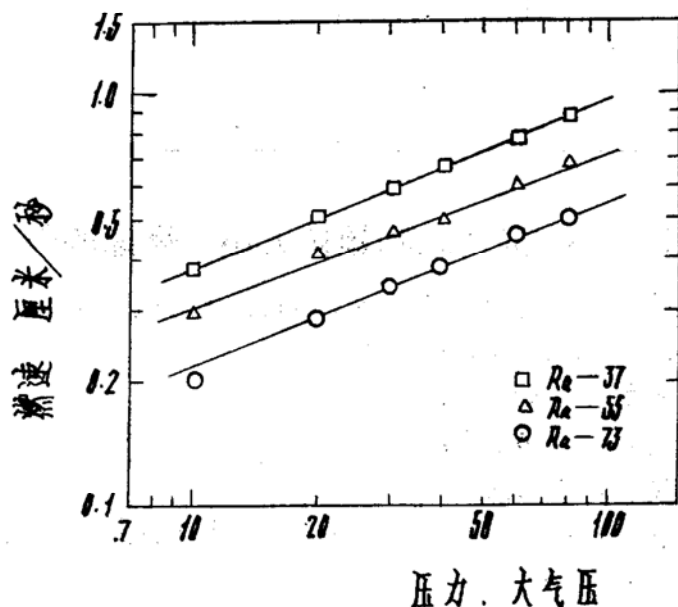


图 7 RDX/AP复合推进剂燃速性能

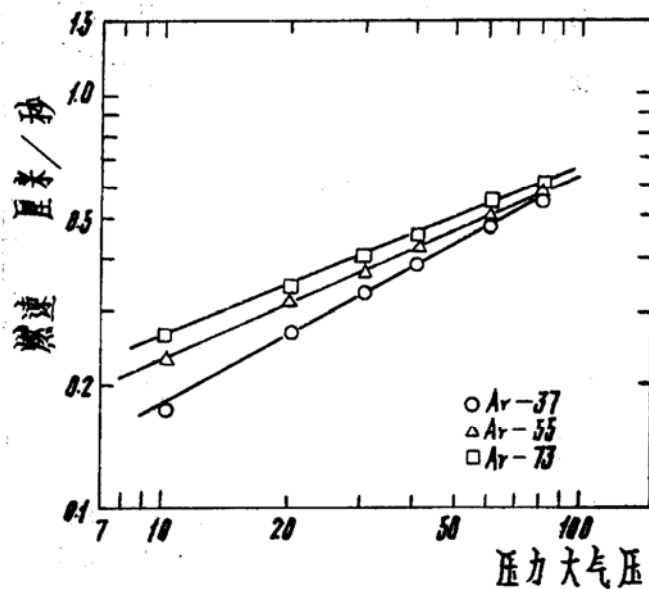


图 8 RDX/AP复合推进剂燃速性能

推进剂颗粒大小对燃速的影响不及AP推进剂。

当取 RDX 和 AP 混合比作参数如图 6 到图 9, RDX/AP 推进剂的燃速性能见图 10。当燃速压力为 40 大气压如图 10, 即使读出的压力不是 40 大气压, 以上趋势保持常数。虽然 RDX 或 AP 的混合比不可能 100% 的增加, 外推纯 RDX 或 AP 推进剂的燃速以点线表示分别表明大小粒度关系。值得注意的是在混合比上 AP 小粒度如果增加, 燃速就提高, 若 RDX 含量增加燃速下降。而且 RDX 粒度改变对燃速影响不大。

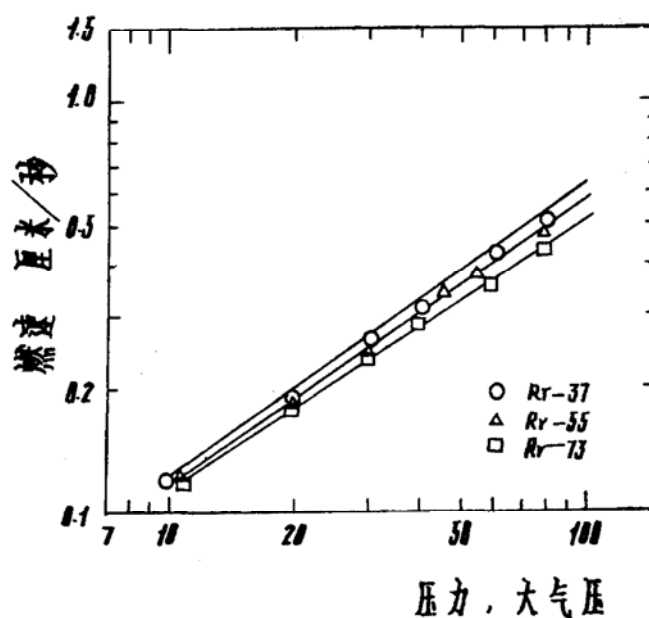


图 9 RDX 复合推进剂燃速性能

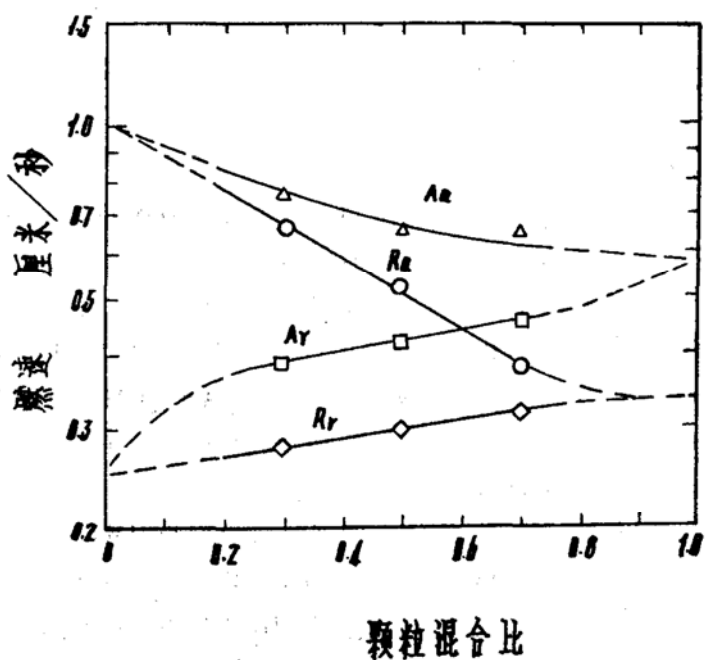


图 10 RDX 和 AP 颗粒大小和混合比对 RDX, AP 和 RDX/AP 复合推进剂的影响

五、RDX和AP含量对燃速的影响

由于推进剂燃速主要取决于RDX和AP的混合比，所以取比值80%和86%进行比较研究。推进剂组分见表3。当R/a的混合比取为7/3和6/4时，粘合剂HTPB的含量取20%和14%。

燃速测量结果见图11。当HRa-73与Ra-73的燃速进行比较，增加6%的RDX/AP氧化剂，在超压范围燃速提高20%。然而在比试验中，压力指数没有变化，HRa-73和Ra-73的压力指数约为0.46。当用小粒度AP取代一部分大粒度的RDX(R/a由7/3变为6/4)，燃速增大见图7。结果表明，小粒度AP对RDX/AP推进剂燃速起主要作用，即使氧化剂含量增加(粘合剂含量降低)。

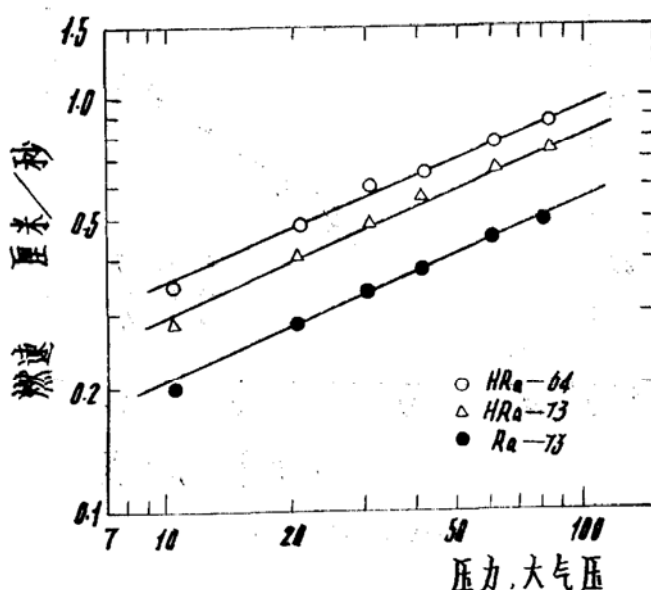


图11 RDX/AP复合推进剂燃速性能

RDX/AP和HMX/AP推进剂的燃速性能

为了阐明HMX/AP复合推进剂燃速性能，制成了三种含HMX的推进剂。为了作比较研究，还制了RDX/AP推进剂。HMX/AP推进剂的化学组分见表4。粘合剂用HTPB，含量占20%。大粒度HMX直径为225微米，以H表示；小粒度直径20微米，以h表示。

燃速测量结果见图12。从RDX/AP推进剂可以看出，使用小粒度AP，燃速增加，压力指数为0.3。因而，由于AP粒度变化严重影响燃速，对RDX/AP或HMX/AP推进剂来说，燃速受AP粒度的控制。根据这种情况可以说，AP和粘合剂的分解气体所产生火焰扩散形式与AP复合推进剂一样，决定RDX/AP或HMX/AP推进剂的燃速。

当用Rr-55和Hh-55的燃速性能进行比较，后者的氧化剂为HMX，燃速很低，压力指数也低见图13。两者燃速不同也发现在HMX/AP和RDX/AP两种推进剂中。纯HMX(单晶)燃速低于纯RDX(单晶)燃速。在这一点上，要比较HMX和RDX单晶燃速是困难的。但是很明显，两者燃速的显著区别是由于化学结构不同，导致晶体产生热力分解反应。因为HMX和RDX由相同化学元素组成，可以认为两者产生的分解气体差不多，在气相中起相同的作用。

在这方面，HMX和RDX复合推进剂燃速的不同，是由于热力分解过程对HMX和RDX燃烧表面产生的影响不同。

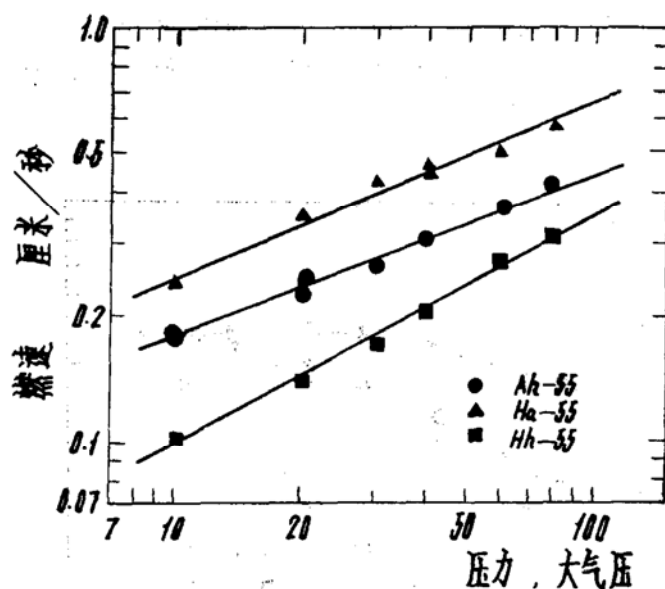


图 12 HMX 和 HMX/AP 推进剂燃速性能

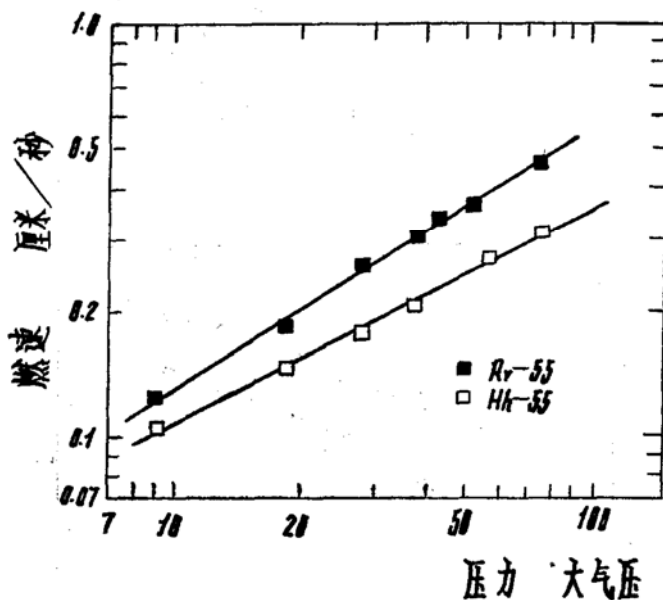


图 13 RDX 和 HMX 推进剂燃速比较

六、粘合剂对RDX/AP复合推进剂燃速的影响

上面谈过，RDX/AP推进剂燃速主要由所用氧化剂的物理和化学性质决定。但粘合剂对燃速的影响也进行了研究试验。为了和 HTPB 粘合剂进行比较，选用了四种含 HTPB 的推进剂，它们的组分见表 5。粘合剂在推进剂配方中占 20%，大小粒度(RDX 或 AP)混合比为 5/5。

如图14所示，燃速主要随RDX和AP混合比不同而变化。仅以RDX作氧化剂组成的TR_r-55(粘合剂：HTPE)，燃速与用HTPB作粘合剂的Rr-55推进剂相似。若以AP置换部分RDX，燃速变化显著，即在低压范围，随着AP的增加燃速增大很快；但压力增加，燃速不随压力而变，压力指数变小。仅以AP为氧化剂的TAa-55推进剂在30-60大气压间燃速出现平台，压力在60大气压以上也为平台燃速。而且压力增加导致燃速降低，压力超过120大气压，出现燃速中断现象。粘合剂对燃速的影响见图15到图18。

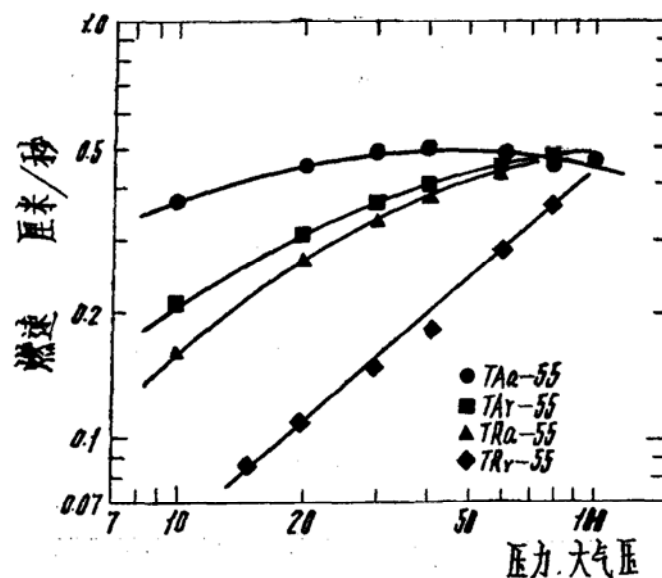


图14 RDX, AP和RDX/AP复合推进剂燃速性能 (粘合剂：HTPE)

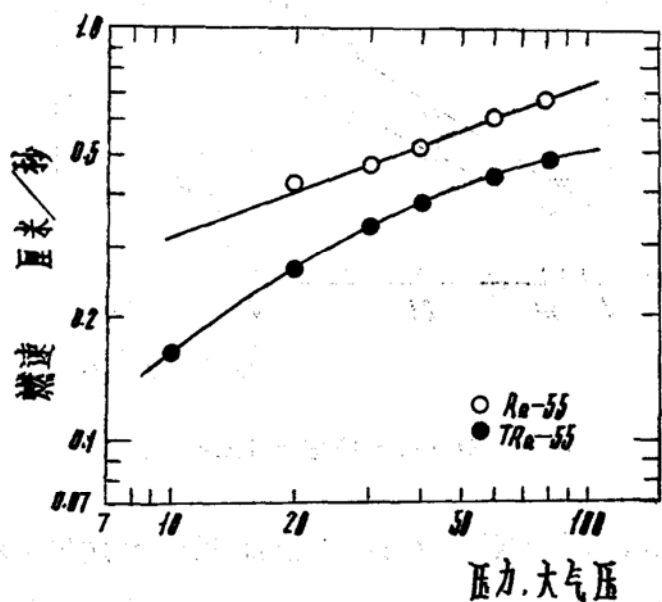


图15 粘合剂对RDX/AP复合推进剂燃速性能的影响 (HTPB和HTPE)

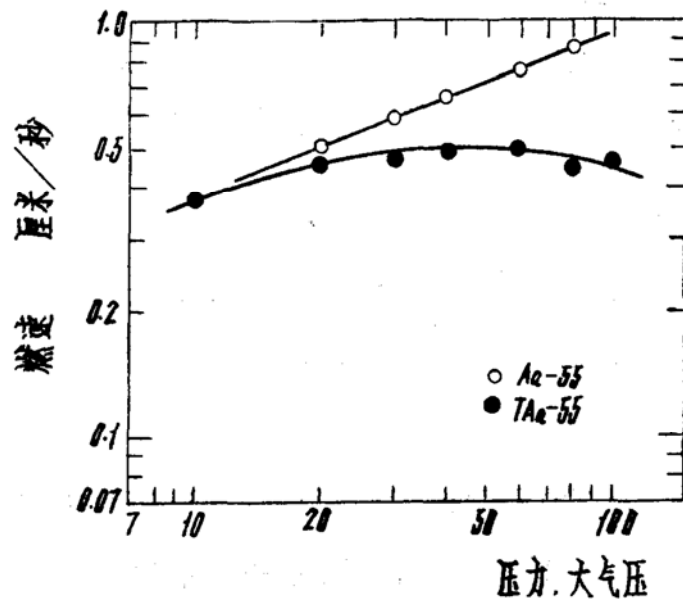


图16 粘合剂对AP复合推进剂燃速性能的影响 (HTPB和HTPE)

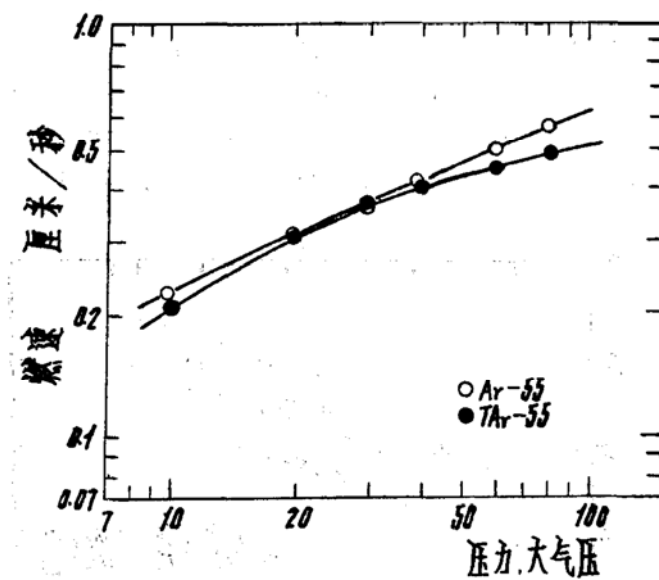


图17 粘合剂对RDX/AP复合推进剂燃速性能影响 (HTPB和HTPE)

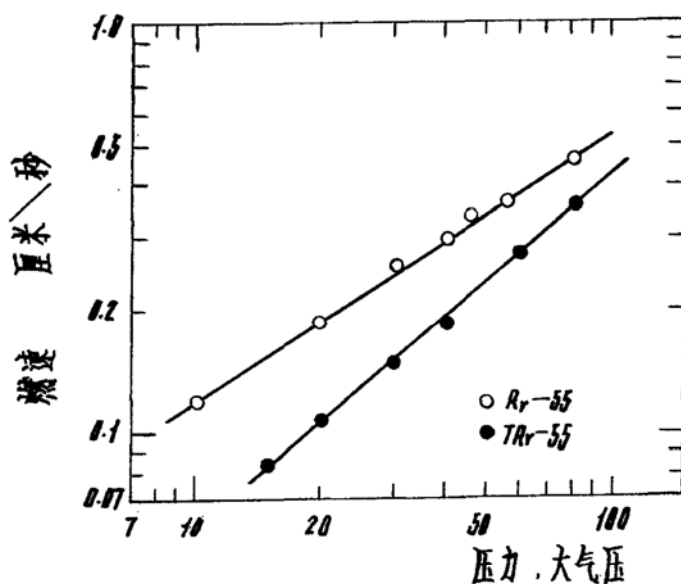


图18 粘合剂对BDX/AP复合推进剂燃速性能影响 (HTPB和HTPE)

七、火箭发动机试验

为了鉴定硝胺/AP复合推进剂性能，采用微型发动机测量燃速。制备了四种类型的推进剂检验RDX, HMX和AP粒度对比冲的影响。推进剂配方：HTPB11%，Ap(400微米)38.5%，HMX、RDX或AP的混合比（中粒或小粒）35.5%，Al（10微米）15%。

推进剂药柱为空心圆柱形，内径40毫米，外径80毫米，长140毫米，外表面以乙烯-丙烯二聚树脂 (ethylene propylene dimer resin) 限燃，两端同时燃烧。燃烧压力与时间关系为常数。压力与燃速关系曲线见图19。四种类型推进剂对数燃速与对数压力关系均为直线，压力指数为0.35。AP推进剂 (TAP-710) 燃速最高。HMX/AP推进剂 (TAP-712) 燃速最低。由燃速试验结果所得比冲见图20。RDX/AP或HMX/AP推进剂 (TAP-709或TAP-713) 压力

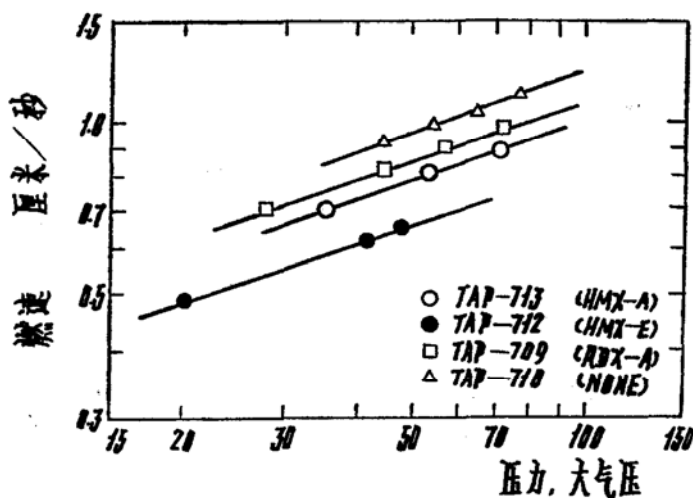


图19 AP/A1, RDX/AP/A1和HMX/AP/A1复合推进剂在微型发动机中测量的燃速

在30—80大气压范围。根据理论计算结果(见图20)，加入RDX或HMX，比冲约增加3秒。可是实测值只有理论比冲的93.5%，原因是Al在发动机中燃烧不完全和喷管与发动机壳体的热损失所造成的。

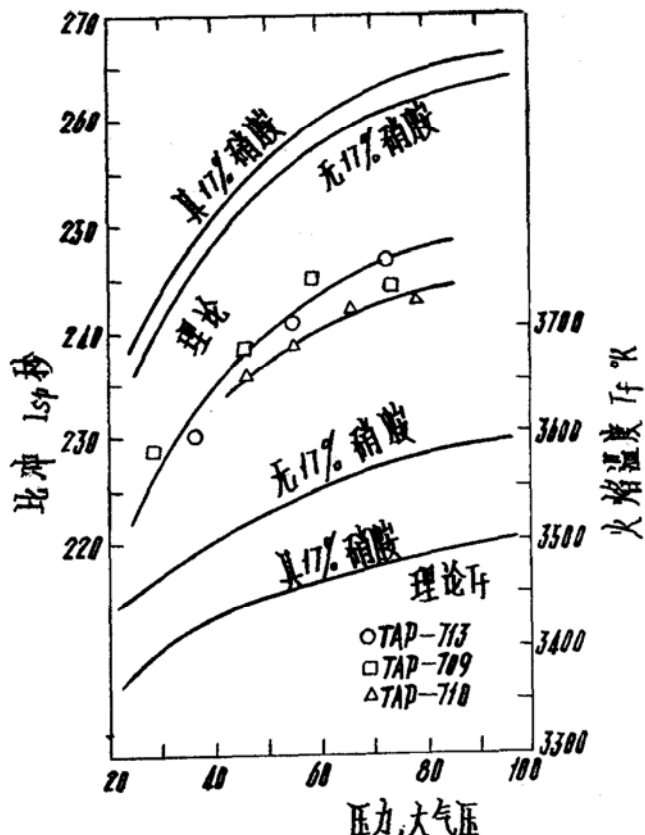


图20 测量比冲，理论比冲和火焰温度

加入17%的RDX或HMX比加入17%的AP，比冲约增加3秒，可是同时RDX/AP或HMX/AP的火焰温度比预期的理论值低。即计算的RDX/AP或HMX/AP推进剂火焰温度比AP推进剂火焰温度约低80℃如图20所示。

八、结语

提高比冲和测量燃速是企图在复合推进剂中用硝胺(RDX或HMX)置换部分AP。热力化学计算结果表明，在硝胺，AP，Al和粘合剂系统一定范围内存在增加比冲和降低火焰温度区域。随着以RDX取代AP的进程，燃速降低。而且，若以HMX置换AP，导致燃速进一步下降，因而成为低燃速推进剂。

对于RDX/AP复合推进剂来说，RDX粒度大小影响燃速不大，可是AP粒度尺寸却对燃速变化影响极大。在硝胺/AP复合推进剂中，AP的含量和粒度大小对燃速起着关键性控制作用。

参 考 文 献

1. Kubota,N., "Combustion mechanisms of nitramine composite propellants", Eighteenth Symposium(international)on Combustion,The Combustion Institute,1981.
3. McCarty,K. P., Isom, K. B., and Jacox, J. L., "Nitramine propellant combustion" AIAA Paper 79-1132, 1979.
3. Gordon, S. and McBride, B. J., "Combustion program for calculation of complex chemical equilibrium compositions, rocket performance, incident and reflected shocks, and Chapman-Jouquet detonations", NASA SP-273, 1971.

征空译

译自《AIAA-81-1582》